

## پیش بینی ایمنی ترافیک با استفاده از روش بهینه سازی گروه ذرات و ماشین راهنمای پشتیبان\*

مقاله پژوهشی

محمود عامری<sup>(۱)</sup> حمید بیگلری راد<sup>(۲)</sup> حمید شاکر<sup>(۳)</sup> امیرحسین عامری<sup>(۴)</sup> سید امیر سعادتجو<sup>(۵)</sup> سعید فاطمی<sup>(۶)</sup> سید علی ضیائی<sup>(۷)</sup>

**چکیده** تصادفات جاده‌ای و تلفات ناشی از آن یکی از چالش‌های کنونی جوامع بشری است که هزینه‌های اقتصادی زیادی را بر اقتصاد کشورها تحمیل نموده است. با توجه به اطلاعات مربوط به ایمنی ترافیک در مطالعات پیشین، تعیین برنامه‌ریزی ایمنی ترافیک با پیش‌بینی افزایش تصادفات رانندگی، بسیار حائز اهمیت می‌باشد. مدل‌های شبکه عصبی استفاده شده در این زمینه دارای خلاءهایی همچون ضعف در نقاط با تعداد تصادفات صفر و تفاوت نتایج در هر بار آزمایش می‌باشند. در این مطالعه به منظور حل مشکلات شبکه عصبی پس انتشار، یک روش جدید که ترکیب بهینه‌سازی گروه ذرات و ماشین راهنمای پشتیبان (PSO-SVM) می‌باشد با هم ترکیب می‌شوند تا به منظور پیش‌بینی ایمنی ترافیک مورد استفاده قرار گیرد. ابتدا عوامل مؤثر بر ایمنی ترافیک و شاخص‌های ارزیابی مورد تجزیه و تحلیل قرار می‌گیرند، سپس مدل پیش‌بینی ایمنی ترافیک توسط بهینه‌سازی گروه ذرات و ماشین راهنمای پشتیبان با توجه به عوامل مؤثر ایجاد می‌شود. در نهایت، داده‌های مربوط به ایمنی ترافیک از سال ۱۳۷۶ تا ۱۳۹۷ برای تحقیق در مورد توانایی پیش‌بینی روش پیشنهادی بکار گرفته می‌شوند. نتایج تجربی نشان می‌دهد که پیش‌بینی ایمنی ترافیک توسط بهینه‌سازی گروه ذرات و ماشین راهنمای پشتیبان برتر از شبکه عصبی پس انتشار است. مقادیر میانگین مطلق خطا برای پیش‌بینی تعداد تصادفات توسط بهینه‌سازی گروه ذرات و ماشین راهنمای پشتیبان و شبکه عصبی پس انتشار به ترتیب مقادیر ۰/۰۲۸۱ و ۰/۰۴۹۸ را به خود اختصاص دادند. مدل‌های ساخته شده در این مطالعه دارای نوسانات بیشتری نسبت به داده‌های مشاهده می‌باشند، بنابراین می‌توان به منظور تنظیم مدل‌های مذکور، مدل‌های دقیق‌تری ایجاد نمود. میزان خطا در مدل‌های مربوط به تعداد مجروحین کمتر از داده‌های تعداد تصادفات و تلفات می‌باشد، که می‌توان علت این موضوع را به تعداد داده‌های بیشتر مربوط دانست.

**واژه‌های کلیدی** شبکه عصبی، بهینه‌سازی گروه ذرات و ماشین راهنمای پشتیبان، ایمنی ترافیک، پس انتشار.

## مقدمه

به‌کارگیری نتایج مطالعات و تحقیقات علمی در خصوص ایمنی راه می‌باشد. از جمله ابزارهای مؤثر و مفید در این زمینه مدل‌های فراابتکاری می‌باشند. مدل از یک سو ابزاری است جهت توصیف، توضیح و یا پیش‌بینی یک پدیده معین و از سوی دیگر می‌تواند جهت ترکیب و یکپارچه‌سازی اثرات متغیرهای تصمیم‌گیری بکار گرفته شود. تصادفات جاده‌ای در ایران رو به افزایش است و سالانه خسارات مالی، جانی و اجتماعی سنگین و در بسیاری از موارد غیرقابل جبرانی بر دوش جامعه و مردم قرار می‌دهد. با پیشرفت سریع تکنولوژی، پایگاه داده‌هایی با صدها و هزاران ویژگی در زمینه‌های شناسایی الگو، داده‌کاوی، یادگیری ماشین و غیره به وجود آمده است [3]. SVM یکی از روش‌های یادگیری

در سال‌های اخیر پیشرفت وسایل نقلیه موتوری در حمل و نقل جاده‌ای، تغییراتی را ایجاد نموده و منافع بی‌شماری برای جوامع بشری به ارمغان آورده‌اند، اما این منافع با خسارت‌های سنگین مربوط به کشته و مجروح شدن انسان‌ها در جاده‌ها همراه بوده است. تصادفات رانندگی هم‌زمان با پیشرفت صنعت خودرو باعث افزایش مشکلات اقتصادی و به دنبال آن آسیب‌های جسمی، روحی و روانی و معلولیت انسان‌های بی‌شماری می‌گردد [1,2]. تصادفات و تلفات انسانی از جمله عوارض ناخوشایند، توسعه ناموزون تکنولوژی حمل و نقل می‌باشند. لازمه موفقیت سیاست‌های ایمنی و تضمین‌کننده کارایی اقدامات پیشگیرانه،

\* تاریخ دریافت مقاله ۱۴۰۰/۹/۸ و تاریخ پذیرش آن ۱۴۰۰/۱۰/۲۹ می‌باشد.

Email: ameri@iust.ac.ir

(۱) نویسنده مسئول: استاد، گروه راه و ترابری، دانشکده عمران، دانشگاه علم و صنعت ایران.

(۲) دانشجوی دکتری حمل و نقل، دانشکده عمران، دانشگاه علم و صنعت ایران.

(۳) دانشجوی دکتری راه و ترابری، دانشکده عمران، دانشگاه علم و صنعت ایران.

(۴) دانش آموخته کارشناسی ارشد راه و ترابری، دانشکده عمران، دانشگاه علم و صنعت ایران.

(۵) دانشجوی دکتری راه و ترابری، دانشکده عمران، دانشگاه علم و صنعت ایران.

(۶) دانشجوی دکتری راه و ترابری، دانشگاه فردوسی مشهد.

(۷) استادیار، دانشکده مهندسی، دانشگاه فردوسی مشهد.

غیر پارامتری وقایع خاص ترافیکی مثل تراکم یا وقوع تصادف در جاده، با دقت بیشتری قابل پیش‌بینی می‌باشند. پیچیده بودن مدل و وابستگی شدید آنها به حجم زیاد داده از معایب عمده این روش‌ها هستند. از مشهورترین روش‌های غیر پارامتری که برای پیش‌بینی ایمنی ترافیک مورد استفاده قرار گرفته است می‌توان به شبکه‌های عصبی، مدل نزدیک‌ترین همسایه و مدل SVM اشاره کرد. معمولاً هرکدام از روش‌های فوق فقط در شرایط خاصی از ترافیک جواب خوبی را ارائه می‌کنند و در صورت تغییر شرایط ترافیکی، نسبت به این تغییرات غیرمقاوم بوده و بازدهی بالایی در پیش‌بینی جریان ترافیک نخواهند داشت [11]. در سال‌های اخیر محققان برای افزایش دقت پیش‌بینی که خلاء مطالعات می‌باشد، از ترکیب خطی و یا غیرخطی روش‌های پیش‌بینی پارامتری و غیرپارامتری استفاده نموده و روش‌های پیش‌بینی ترکیبی را ابداع نموده‌اند [12] که میزان دقت آنها بستگی به نوع عملیات ترکیب و نوع روش‌های پارامتری و غیرپارامتری استفاده شده دارد. از جمله روش‌های ترکیبی در ایمنی ترافیک روش PSO-SVM (Partial Swarm Optimization) بوده که در حوزه‌های مختلف مهندسی ترافیک از جمله ایمنی ترافیک استفاده شده است [13].

در سال‌های گذشته، با بهبود وضعیت ساخت جاده و افزایش حضور خودروهای امدادی سیار و استفاده از مسیرهای مختلف، میزان تصادفات رانندگی روندی نسبتاً نزولی داشته است [14-17]. این امری مهم است که برنامه‌ریزی ایمنی ترافیک توسط پیش‌بینی تصادفات رانندگی بر اساس داده‌های ایمنی در سال‌های گذشته تعیین شود [18-20]. شبکه‌های عصبی مصنوعی، به‌ویژه شبکه عصبی پس‌انتشار، روش‌های رایج پیش‌بینی ایمنی ترافیک هستند. باین‌حال خلاء موجود در مطالعات پیشین آن است که روش شبکه عصبی پس‌انتشار، به دلیل اشکالات ذاتی این روش، مانند به دام افتادن در نقاط بهینه‌سازی محلی، دچار مشکل خواهد شد [21-24]. ماشین راهنمای پشتیبان (SVM) یک نوع روش یادگیری ماشین است که می‌تواند برای حل مشکل پیش‌بینی با نمونه‌های کوچک و غیرخطی استفاده شود [25, 26]. بزرگ‌ترین مشکلی که در ساخت مدل SVM اتفاق می‌افتد این است که چگونه مقادیر پارامتر آموزشی روش SVM انتخاب شود و همچنین این موضوع که تنظیمات پارامتر نامناسب منجر به پیش‌بینی ضعیف می‌شوند [27-29]. حال مسئله اساسی تحقیق آن است که به چه روشی می‌توان این خلاء‌ها را پر و نقایص را

با نظارت (برچسب گذاری شده) است که از آن برای طبقه‌بندی استفاده می‌کنند. این روش از جمله روش‌های نسبتاً جدیدی است که در سال‌های اخیر کارایی خوبی نسبت به روش‌های قدیمی‌تر از جمله شبکه‌های عصبی پرسپترون داشته است. مبنای کاری دسته‌بندی کننده (Support Vector Machine) SVM دسته‌بندی خطی داده‌ها است و در تقسیم خطی داده‌ها سعی می‌شود خطی انتخاب شود که حاشیه اطمینان بیشتری داشته باشد [4]. روش بهینه‌سازی ازدحام ذرات یک روش محاسباتی می‌باشد که مسئله را با تلاش‌های مکرر، جهت بهبود یک‌راه حل کاندید با توجه به معیار کیفیت مفروض، بهینه می‌کند. PSO یک مسئله را با داشتن مجموعه‌ای از راه‌حل‌های کاندید، بهینه می‌کند و این ذرات را درون یک فضای جستجو توسط فرمول‌های ریاضی ساده برای محاسبه موقعیت و سرعت ذره، حرکت می‌دهد. حرکت هر ذره تحت تأثیر بهترین موقعیت شناخته‌شده محلی می‌باشد، که در عین حال به سمت بهترین موقعیت‌های شناخته‌شده در کل فضای جستجو (که با پیدا شدن موقعیت‌های بهتر توسط ذرات، جایگزین می‌شوند) هدایت می‌شود. این روند موجب حرکت گروه به سمت بهترین راه‌حل‌ها می‌گردد [5]. این ذرات در فضای پاسخ حرکت می‌کنند و نتایج حاصله بر مبنای «ملاک شایستگی» پس از هر بازه زمانی محاسبه می‌شود. با گذشت زمان، ذرات به سمت ذراتی که دارای ملاک شایستگی بالاتری هستند و در گروه ارتباطی یکسانی قرار دارند، شتاب می‌گیرند [6, 7]. زمانی که موقعیت‌های بهتر کشف می‌شوند، به هدایت حرکات گروه می‌پردازند. این فرایند تکراری ادامه می‌یابد و با انجام آن می‌توان به نتیجه مطلوب امید داشت، اما نمی‌توان این مقوله را تضمین کرد، که یک‌راه حل مناسب بدست آید [8].

با توجه به پژوهش‌های انجام یافته در زمینه پیش‌بینی ایمنی ترافیک، امروزه اکثر روش‌های پیش‌بینی ایمنی ترافیک به روش‌های پارامتری، غیرپارامتری و ترکیبی تقسیم می‌شوند. در اغلب روش‌های پیش‌بینی پارامتری با استفاده از مدل‌های رگرسیون، مدل حداکثر شباهت و مدل‌های سری زمانی داده‌های گذشته مدل شده و ایمنی ترافیک چند گام بعد پیش‌بینی می‌گردد [9]. از مزایای این روش‌ها می‌توان به ساده بودن مدل پیش‌بین اشاره نمود و بزرگ‌ترین عیب اغلب این روش‌ها وابستگی آنها به میزان بسیار زیاد داده‌های تاریخی و همچنین عملکرد ضعیف آنها در حضور خطا، اغتشاش و تغییرات شدید و ناگهانی تصادفات ترافیکی است [10]. در روش‌های پیش‌بینی

مسئله بهینه‌سازی حل شده توسط SVM می‌تواند به صورت رابطه‌ی (۲) فرموله شود:

$$\min \frac{1}{2} \|N\|^2 + C \sum_{i=1}^N (\delta_i + \delta_i^*) \quad (2)$$

$$\text{s.t. } y_i - N \cdot q(x) - k \leq \varepsilon + \delta_i$$

$$N \cdot q(x) + k - y_i \leq \varepsilon + \delta_i^*$$

$$\delta_i \geq 0, \quad \delta_i^* \geq 0$$

که در آن  $C > 0$  است و مبادله بین ریسک تجربی و دوره تناوب را تعیین می‌کند.  $\delta$  و  $\delta^*$  دو متغیر منقطع مثبت هستند که انحراف  $(y_i - f(x_i))$  از مرزهای منطقه غیر حساس  $\varepsilon$  را اندازه‌گیری می‌کنند.

با ایجاد تابع لاگرانژ، مسئله دوگانه را می‌توان به صورت رابطه‌ی (۳) به دست آورد:

$$\max -\frac{1}{2} \sum_{ij=1}^N (L_i + L_i^*)(L_j + L_j^*) k(x_i, x_j) + \sum_{i=1}^N y_i (L_i + L_i^*) - \varepsilon \sum_{i=1}^N \varepsilon (L_i + L_i^*) \quad (3)$$

$$\text{s.t. } \sum_{i=1}^N (L_i + L_i^*) = 0$$

$$L_i \geq 0, \quad L_i^* \leq C$$

که در آن  $L_i$  و  $L_i^*$  ضرایب لاگرانژ هستند که با حل مسئله بهینه‌سازی دوگانه از روش ماشین بردار پشتیبان به دست می‌آیند، و  $K(x_i, x_j) = q(X_i) q(X_j)$  تابع کرنل هستند.

در نهایت، تابع رگرسیون عملکرد مطابق رابطه‌ی (۴) به دست می‌آید:

$$f(x) = \sum_{ij=1}^N (L_i + L_i^*) k(x_i, x) + k \quad (4)$$

### پیش‌بینی ایمنی ترافیک توسط PSO-SVM

#### انتشار مجموعه‌های آزمایشی

پیش‌بینی ایمنی ترافیک، نوعی مدل پیش‌بینی غیرخطی بر اساس عوامل تأثیرگذار است. شاخص‌های ارزیابی ایمنی ترافیک عمدتاً شامل تعداد تصادفات، تعداد فوت و تعداد تصادفات جرحی می‌شود و عوامل مؤثر بر ایمنی ترافیک عمدتاً شامل تعداد دوربین‌های کنترل سرعت، تعداد مراکز امداد جاده‌ای، جمعیت، نفر-کیلومتر جابجا شده و نسبت خودروهای مسافری به باری

مرتفع نمود. بنابراین به دنبال پاسخ آن در ادامه مطالعه می‌باشیم. اگر اثر قابل توجهی از پارامترها بر روی عملکرد کلی روش SVM را در نظر بگیریم؛ از بهینه‌سازی گروه ذرات برای جستجوی پارامترهای SVM در فضای جهانی استفاده می‌شود [30]. این تکنیک از رفتارهای اجتماعی مانند مهاجرت پرندگان و پرورش ماهی گرفته شده است که می‌تواند به‌طور مؤثری راه‌حل‌های بهینه یا نزدیک به بهینه را در فضاهای جستجو پیدا کند [31, 32]. در این مطالعه هدف آن است که با ترکیب PSO-SVM به عنوان روشی نوین ضعف شبکه‌های عصبی پوشش داده شود و دقت محاسبات افزایش داده شود. لذا در این مطالعه روش موردنظر برای نخستین بار بر روی حجم بالایی از داده‌ها در ایران انجام گرفت و البته این مدل برای هر ۳ مورد تعداد تصادفات، تعداد تلفات و تعداد مجروحین پیاده‌سازی شده است. از جمله عوامل مؤثر در مدل مذکور مطابق با مطالعات محققین دیگر عبارتند از دوربین‌های کنترل سرعت [33]، تعداد مراکز امداد جاده‌ای [34]، جمعیت [35]، نفر-کیلومتر جابجا شده [36] و نسبت خودروهای مسافری به باری [37].

### روش تحقیق

در این مطالعه رویکرد جدید که بهینه‌سازی گروه ذرات و ماشین بردار پشتیبان (PSO-SVM) را ترکیب می‌کند، برای پیش‌بینی ایمنی ترافیک ارائه شده است. ابتدا، عوامل مؤثر بر ایمنی ترافیک  $\{(x_i, y_i)\}_i^N$  و شاخص‌های ارزیابی مورد تجزیه و تحلیل قرار می‌گیرند، سپس مدل پیش‌بینی ایمنی ترافیک توسط PSO-SVM با توجه به عوامل مؤثر ایجاد شده است. داده‌های مربوط به ایمنی ترافیکی در کشور (شامل تعداد تصادفات، تلفات و مجروحین) از ۱۳۷۶ تا ۱۳۹۷ برای تحقیق بر روی توانایی پیش‌بینی روش پیشنهادی، که در آن داده‌های مربوط به سال‌های ۱۳۷۶ تا ۱۳۹۰ به‌عنوان داده‌های آموزشی مورداستفاده قرار می‌گیرند و داده‌های مربوط به سال‌های ۱۳۹۱ تا ۱۳۹۷ به‌عنوان داده‌های آزمایش مورداستفاده قرار می‌گیرند. مجموعه‌ای از داده‌ها را در نظر بگیرید که در آن  $x_i$  متغیر ورودی،  $y_i$  مقدار تابع هدف متناظر [38, 39] می‌باشد. تابع  $f(x)$  با استفاده از یک تابع خطی در فضای ویژگی نشان داده شده است:

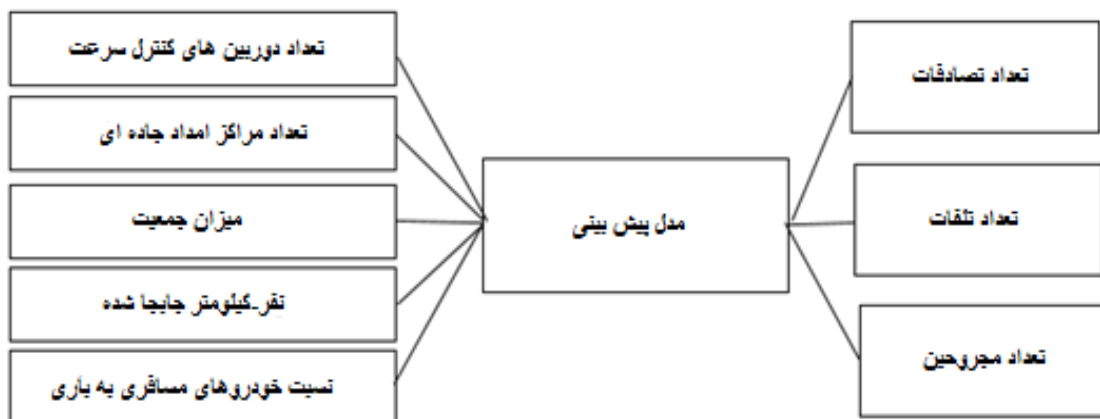
$$f(x) = N \cdot q(x) + k \quad (1)$$

که در آن  $N$  بردار وزن و  $k$  نشان‌دهنده میزان تمایل است.

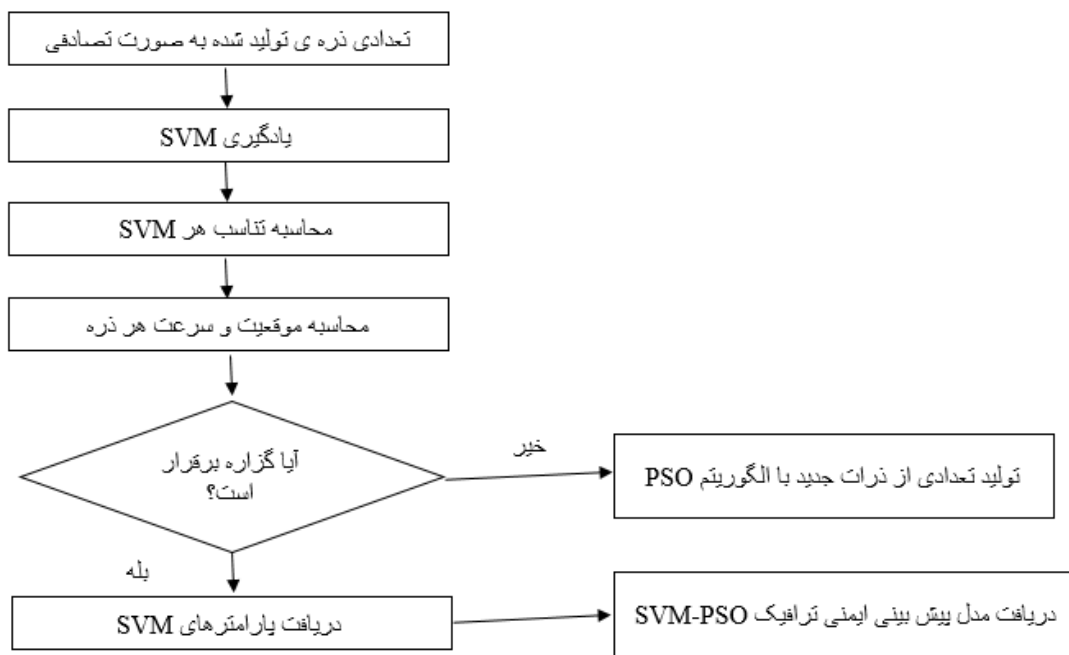
جدول (۱) مربوط به پیش‌بینی تعداد تصادفات می‌باشد. دو مدل SVM و BPNN (Back Propagation Neural Network) مقایسه شده و خطای آن‌ها در سال‌های مختلف متفاوت می‌باشد. به همین ترتیب جدول (۲) به بررسی تعداد کشته شدگان پرداخته و جدول (۳) هم تعداد جراحات ناشی از تصادفات رانندگی را پیش‌بینی نموده است و همچنین نتایج و خطاها نیز گزارش شده‌اند. همانطور که مشاهده شد در تعداد بیشتری از سال‌ها مدل SVM خطای کمتری نسبت به BPNN داشته است.

می‌باشد. پنج عامل تأثیرگذار در ایمنی ترافیک، بردار ورودی مدل پیش‌بینی را تشکیل داده و سه شاخص ارزیابی ایمنی ترافیک به‌عنوان مقادیر خروجی مدل پیش‌بینی استفاده می‌شوند. سپس مجموعه‌های آموزشی ایجاد می‌شوند، که در شکل (۱) نشان داده شده‌اند.

در جداول (۱) تا (۳) داده‌های اخذ شده از سازمان راهداری و مقادیر خروجی مدل‌ها و خطای آن‌ها مرقوم شده است. این داده‌ها مربوط به جاده‌های برون‌شهری می‌باشد.



شکل ۱ آموزش مدل پیش‌بینی ایمنی ترافیک



شکل ۲ فرآیند ماشین راهنمای پشتیبان با بهینه‌سازی انبوه ذرات بهینه‌سازی

جدول ۱ پیش‌بینی تعداد تصادفات

خطا مقادیر به‌دست‌آمده		مقادیر به‌دست‌آمده		شمارش شده			تاریخ
BPNN	SVM	BPNN	SVM	انحراف معیار	میانگین در روز	تعداد	
۰/۰۴۱۸	۰/۰۱۶۱	۱۳۱۰۵۸	۱۲۱۳۵۸	۸۱	۳۱۹	۱۱۶۴۰۳	۱۳۹۱
۰/۰۵۲۶	۰/۰۱۸۳	۴۰۵۴۷۸	۱۲۴۹۱۴	۷۵	۳۰۸	۱۱۲۱۱۴	۱۳۹۲
۰/۰۱۰۳	۰/۰۳۸۱	۱۰۶۳۶۹	۹۸۳۶۵	۷۹	۲۸۱	۱۰۲۲۷۵	۱۳۹۳
۰/۰۳۷۱	۰/۰۰۸۹	۹۶۵۸۷	۱۰۵۲۸۲	۶۲	۲۷۸	۱۰۱۱۶۱	۱۳۹۴
۰/۰۴۲۵	۰/۰۶۱۹	۹۱۲۵۸	۹۵۰۱۵	۸۸	۲۷۹	۱۰۱۷۹۲	۱۳۹۵
۰/۰۵۷۱	۰/۰۲۵۸	۱۴۴۲۶۵	۱۱۷۸۵۴	۴۹	۳۳۲	۱۲۱۱۰۸	۱۳۹۶
۰/۰۱۲۴	۰/۰۲۳۸	۱۵۲۳۶۴	۱۵۰۶۵۷	۶۸	۴۱۶	۱۵۱۸۴۰	۱۳۹۷

جدول ۲ مقادیر پیش‌بینی آمار گذشته‌شدگان

خطا مقادیر به‌دست‌آمده		مقادیر به‌دست‌آمده		شمارش شده			تاریخ
BPNN	SVM	BPNN	SVM	انحراف معیار	میانگین در روز	تعداد	
۰/۰۴۴۸	۰/۰۲۴۱	۱۹۹۵۸	۱۸۲۴۱	۱۶,۲۱	۵۳	۱۹۰۸۹	۱۳۹۱
۰/۰۵۳۷	۰/۰۳۷۲	۱۶۵۲۱	۱۶۹۸۷	۱۵,۶۲	۵۰	۱۷۹۹۴	۱۳۹۲
۰/۰۷۱۴	۰/۰۲۶۱	۱۶۳۳۱	۱۷۸۲۵	۱۴,۳۶	۴۷	۱۶۸۷۲	۱۳۹۳
۰/۰۴۱۱	۰/۰۶۲۲	۱۶۹۸۲	۱۵۶۸۷	۱۴,۸۲	۴۶	۱۶۵۸۴	۱۳۹۴
۰/۰۲۳۹	۰/۰۲۷۸	۱۵۰۵۱	۱۵۰۱۵	۱۲,۲۸	۴۴	۱۵۹۳۲	۱۳۹۵
۰/۰۶۲۸	۰/۰۲۳۴	۱۷۲۸۰	۱۶۹۱۵	۱۳,۱۴	۴۵	۱۶۲۰۱	۱۳۹۶
۰/۰۴۹۲	۰/۰۳۵۸	۱۸۰۲۹	۱۸۲۹۳	۱۴,۰۲	۴۸	۱۷۱۸۳	۱۳۹۷

جدول ۳ پیش‌بینی تعداد جراحات

خطا مقادیر به‌دست‌آمده		مقادیر به‌دست‌آمده		شمارش شده			تاریخ
BPNN	SVM	BPNN	SVM	انحراف معیار	میانگین در روز	تعداد	
۰/۰۳۵۴	۰/۰۰۹۵	۳۰۸۶۹۷	۳۱۶۲۵۴	۱۲۸	۸۷۴	۳۱۸۸۰۲	۱۳۹۱
۰/۰۴۸۵	۰/۰۲۵۷	۳۰۲۵۸۷	۳۰۹۱۴۵	۱۴۱	۸۶۵	۳۱۵۷۱۹	۱۳۹۲
۰/۰۵۲۹	۰/۰۱۵۸	۳۳۵۲۹۲	۳۱۳۹۱۰	۱۳۳	۸۳۵	۳۰۴۴۸۵	۱۳۹۳
۰/۰۴۷۸	۰/۰۱۵۱	۳۳۵۲۶۹	۳۱۰۲۵۱	۱۲۵	۸۵۸	۳۱۳۰۱۷	۱۳۹۴
۰/۰۳۶۸	۰/۰۳۴۹	۳۱۷۹۳۶	۳۱۸۵۲۷	۲۸۹	۹۱۳	۳۳۳۰۶۶	۱۳۹۵
۰/۰۴۵۱	۰/۰۲۸۴	۳۱۵۴۷۸	۳۴۰۷۴۴	۳۱۲	۹۲۱	۳۳۵۹۹۵	۱۳۹۶
۰/۰۳۹۹	۰/۰۴۵۸	۳۷۸۴۹۶	۳۴۸۲۶۹	۳۳۶	۱۰۰۷	۳۶۷۴۴۰	۱۳۹۷

### بهینه‌سازی گروه ذرات

این تکنیک از رفتارهای اجتماعی مانند مهاجرت پرندگان و پرورش ماهی گرفته می‌شود که در آن افراد به‌عنوان ذرات تعریف می‌شوند. ذرات موقعیت خود را مطابق با تناسب در هر تکرار

ارزیابی می‌کنند [40, 41]. در فضای یک‌بعدی، ذره  $i$  به‌صورت  $X_i = (x_{i1}, x_{i2}, \dots, x_{in})$  نشان داده‌شده است، سرعت آن به‌صورت  $V_i = (v_{i1}, v_{i2}, \dots, v_{in})$  نشان داده‌شده است و بهترین موقعیت آن به‌صورت  $G_i = (g_{i1}, g_{i2}, \dots, g_{in})$  نشان داده‌شده

## نتایج

در این مطالعه داده‌های مربوط به ایمنی ترافیک از ۱۳۷۶ تا ۱۳۹۷ به‌منظور بررسی توانایی پیش‌بینی روش پیشنهادی استفاده می‌شوند. به این ترتیب داده‌های مربوط به سال‌های ۱۳۷۶ تا ۱۳۹۰ به‌عنوان داده‌های آموزش الگوریتم و داده‌های مربوط به سال‌های ۱۳۹۱ تا ۱۳۹۷ به‌عنوان داده‌های تست الگوریتم استفاده می‌شوند. پارامترهای "تعداد دوربین‌های کنترل سرعت"، "تعداد مراکز امداد جاده‌ای"، "جمعیت"، "نفر-کیلومتر جابجا شده" و "نسبت خودروهایی مسافری به باری" که از مرور ادبیات بدست آمده‌اند، به‌عنوان ورودی مدل PSO - SVM استفاده می‌شود. ویژگی‌های تصمیم‌گیری شامل تعداد تصادفات، تعداد فوت و تعداد آسیب است که به‌عنوان خروجی مدل PSO - SVM استفاده می‌شود. مقادیر پیش‌بینی تعداد تصادفات، تعداد فوت و تعداد مجروحین توسط مدل PSO - SVM در جدول (۳-۱) به نمایش درآمده است. مقایسه مقادیر پیش‌بینی بین شبکه PSO - SVM و شبکه عصبی پس انتشار در شکل‌های (۳) تا (۵) ارائه شده است. و جدول (۴) مقایسه‌ای بین میانگین درصد خطای مطلق (MAPE) بین PSO-SVM و شبکه عصبی پس انتشار را نشان می‌دهد که مقادیر میانگین مطلق خطا برای تعداد تصادفات با روش PSO-SVM و شبکه عصبی پس انتشار عبارت‌اند از ۰/۰۲۸۱ و ۰/۰۴۹۸. همچنین تعداد تلفات گزارش شده توسط مدل PSO-SVM و شبکه عصبی پس انتشار عبارت‌اند از ۰/۰۳۳۴ و ۰/۰۵۶۱۰، و مقدار میانگین مطلق خطا برای تعداد مجروحین گزارش شده توسط مدل PSO-SVM و شبکه عصبی به ترتیب عبارتند از ۰/۰۲۶۱ و ۰/۰۴۵۲ که نشان‌دهنده این مطلب است که ایمنی ترافیک که توسط PSO-SVM گزارش شده دارای دقت بیشتری نسبت به شبکه عصبی پس انتشار است.

همان‌طور که در شکل (۳) مشاهده می‌شود، مقادیر پیش‌بینی تعداد تصادفات روش PSO-SVM و شبکه عصبی پس انتشار مقایسه شده‌اند. روند کلی از سال ۹۱ تا ۹۵ به‌صورت نزولی بوده اما متأسفانه تا سال ۹۷ تعداد تصادفات افزایش یافته است. آنچه مشخص است آن است که ماهیت تصادفی بودن داده‌های تصادفات در هر دو روش دیده می‌شود و نمی‌توان اظهار کرد که یکی از مدل‌ها همواره مقادیری کمتر یا بیشتر از داده‌های شمارش شده را گزارش می‌کند. مطابق شکل (۴) این مطلب بیان می‌شود که روند تغییرات تلفات تقریباً مشابه تعداد تصادفات

است. بهترین حالت در میان تمام ذرات به‌صورت  $G_g = (g_{g1}, g_{g2}, \dots, g_{gn})$  نشان داده شده است. سرعت و موقعیت ذره به شرح روابط (۵) و (۶) محاسبه می‌شوند:

$$v_{ir}(t+1) = v_{ir}(t) + s_1 \cdot m_1 \cdot (g_{ir}(t) - g_{ir}(t)) + s_2 \cdot m_2 \cdot (G_{jr} - x_i(t)) \quad (5)$$

$$x_{ir}(t+1) = x_{ia}(t) + v_{ir}(t+1) \quad (6)$$

که  $G_{ir}$  بهترین موقعیت قبلی  $i$  را نشان می‌دهد،  $G_{jr}$  بهترین موقعیت در میان تمام ذرات است.  $S_1$  پارامتر شناختی را نشان می‌دهد و  $S_2$  بیانگر پارامتر اجتماعی است.  $m_1$  و  $m_2$  اعداد تصادفی بین ۰ و ۱ هستند،  $t$  نشان‌دهنده تعداد تکرار فعلی است.

**ماشین بردار پشتیبان بهینه‌سازی شده توسط گروه ذرات**  
پارامترهای نامناسب،  $C$ ،  $k$  و  $\epsilon$  SVM می‌توانند منجر به بیش برآزش شوند. تأثیر قابل توجه پارامترها بر عملکرد کلی PSO-SVM، در این زمینه بسیار حائز اهمیت می‌باشد [41] که در شکل (۲) آورده است. فرآیند بهینه‌سازی توسط بهینه‌سازی انبوه ذرات به شرح زیر توصیف می‌شود:

مرحله ۱: پارامترهای اولیه بهینه‌سازی انبوه ذرات شامل تعداد نسل تکاملی، اندازه جمعیت، وزن اینرسی، و به‌طور تصادفی یک جمعیت متشکل از ذرات شامل  $\epsilon$  و  $C$ .

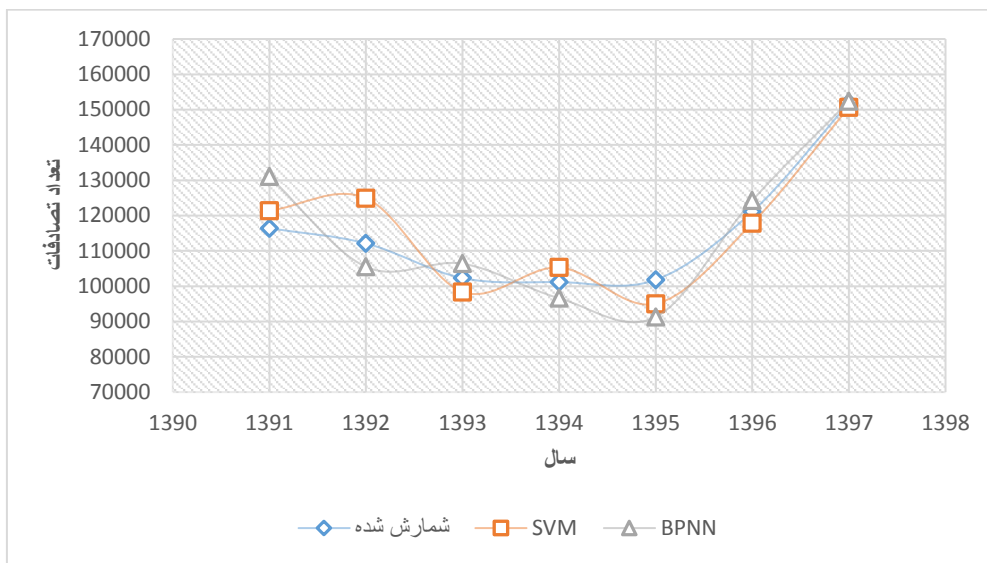
مرحله ۲: استفاده از پارامترهای انتخاب شده برای آموزش یک مدل SVM. نمونه‌های آزمایشی برای اندازه‌گیری قابلیت پیش‌بینی مدل SVM استفاده می‌شوند. کارایی مدل توسط برآزش به‌عنوان میانگین مطلق خطا اندازه‌گیری می‌شود:  $\frac{1}{N} \sum_{i=1}^N \left| \frac{y_i - \hat{y}_i}{y_i} \right|_1$  که در آن  $y_i$  مقدار حقیقی، و  $\hat{y}_i$  مقدار پیش‌بینی است.

مرحله ۳: سرعت و موقعیت هر ذره با معادلات (۵) و (۶) محاسبه شود.

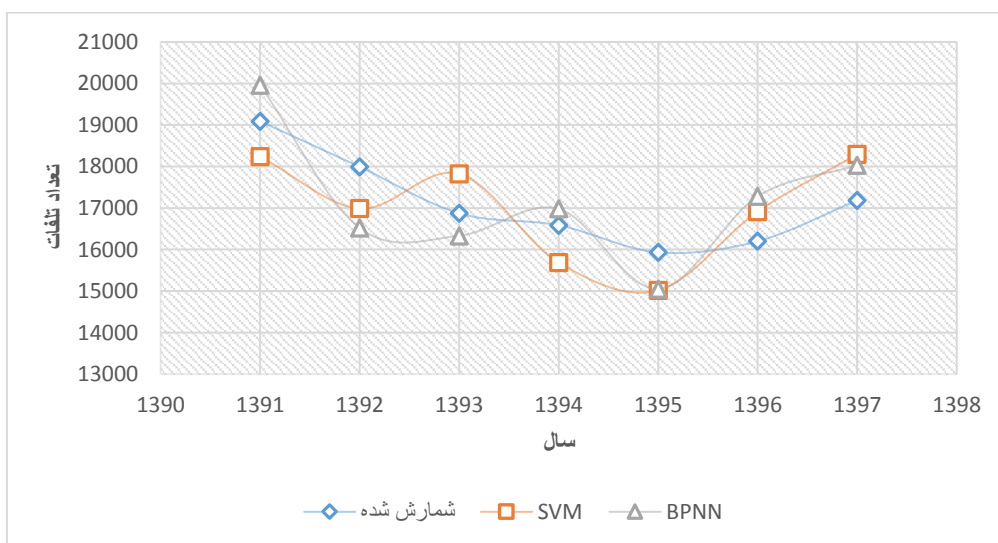
مرحله ۴: اگر معیار اتمام (میزان  $\epsilon$ ) برقرار باشد، الگوریتم متوقف شده و بهترین پاسخ SVM به دست می‌آید. در غیر این صورت، با توجه به معادلات (۵) و (۶)، ذره جدید تولید می‌شود.

دیگری که می‌توان به آن اشاره کرد آن است که مدل‌ها نوسانات بیشتری نسبت به داده‌های مشاهده را نشان می‌دهند. می‌توان با تنظیم مدل‌های مذکور و کاهش نوسانات، مدل‌های با دقت بالاتری ایجاد نمود. با توجه به آن‌که مقدار خطا در داده‌های مربوط به تعداد مجروحین کمتر از داده‌های تعداد تصادفات و تعداد تلفات می‌باشد، می‌توان این مقوله را ناشی از تعداد داده‌های بیشتر دانست. مدل‌ها هرچقدر دارای داده‌های بیشتر باشند می‌توانند تطبیق بهتری با مقادیر شمارش شده داشته باشند.

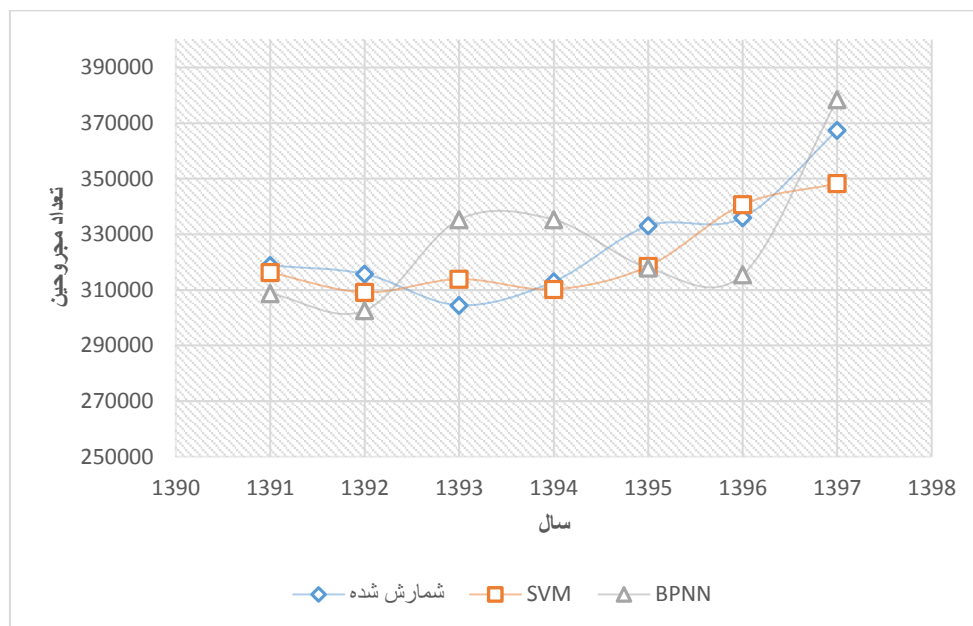
می‌باشد اما در شکل ۵ تعداد مجروحین تا سال ۹۵ تقریباً ثابت بوده و پس از آن روندی صعودی به خود می‌گیرد. در شکل‌های (۳) تا (۵) می‌توان برتری مدل PSO-SVM را نسبت به شبکه عصبی مشاهده نمود که مقادیر نمودار نارنجی‌رنگ به آبی نزدیک‌تر است تا نمودار طوسی‌رنگ. به طور مثال در شکل (۳) در سال ۱۳۹۱ خروجی SVM تعداد ۱۲۰۰۰۰ تصادف را گزارش می‌کند که مقدار شمارش شده هم ۱۱۸۰۰۰ می‌باشد این در حالی است که شبکه عصبی ۱۳۰۰۰۰ تصادف را معرفی می‌کند که تفاوت نسبت به مقادیر مشاهده شده ملموس می‌باشد. نکته



شکل ۳ مقایسه مقادیر پیش‌بینی تعداد تصادفات بین PSO-SVM و شبکه عصبی پس‌انتشار



شکل ۴ مقایسه مقادیر پیش‌بینی تعداد تلفات بین PSO-SVM و شبکه عصبی پس‌انتشار



شکل ۵ مقایسه مقادیر پیش‌بینی تعداد مجروحین بین PSO-SVM و شبکه عصبی پس‌انتشار

جدول ۴ مقایسه میانگین مطلق خطا شبکه عصبی PSO - SVM و شبکه عصبی پس‌انتشار

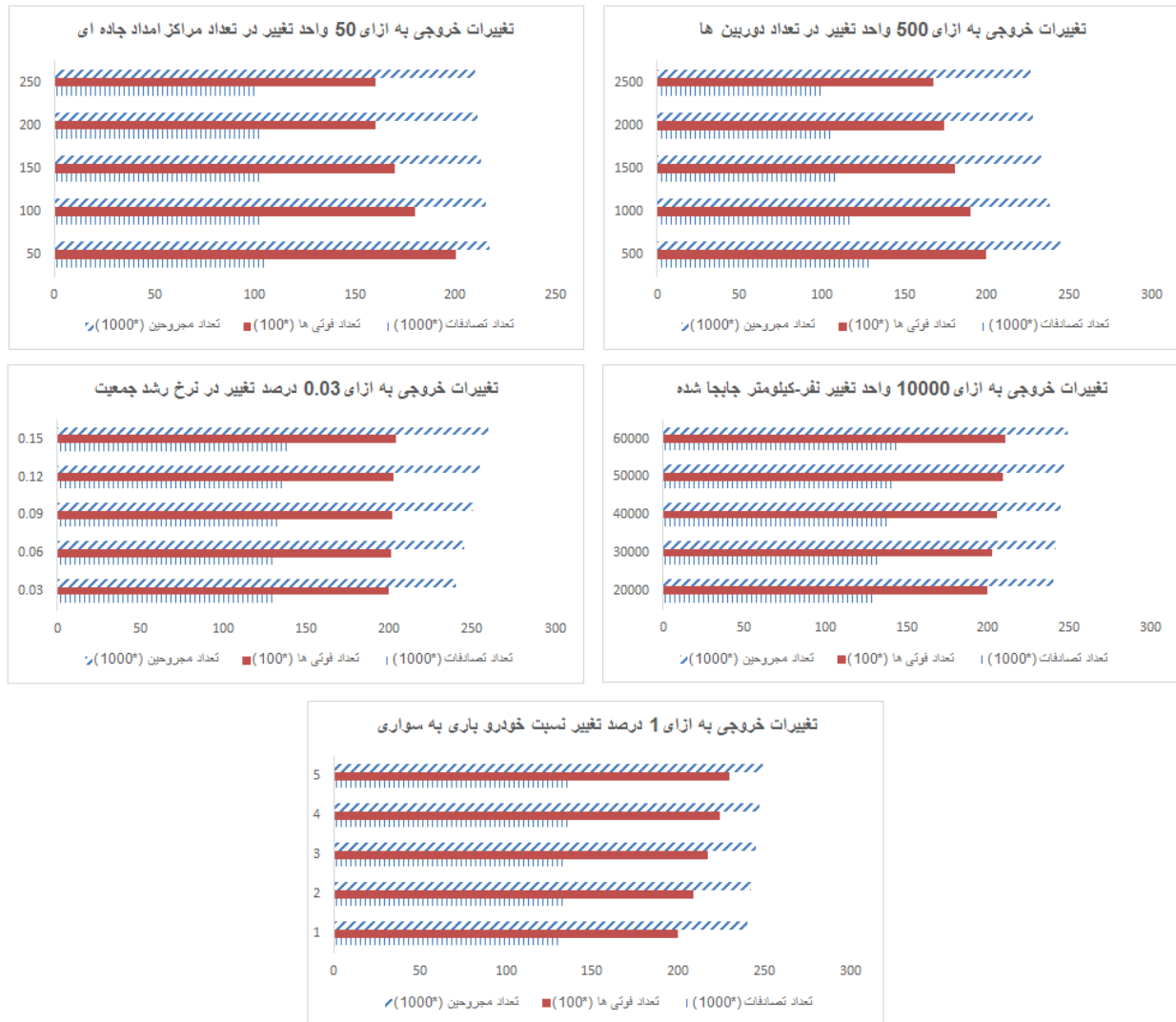
میانگین مطلق خطا		
BPNN	PSO	
۰/۰۴۹۸	۰/۰۲۸۱	تعداد تصادفات
۰/۰۵۶۱	۰/۰۳۳۴	تعداد تلفات
۰/۰۴۵۲	۰/۰۲۶۱	تعداد مجروحین

ها، هر سه دسته خروجی نرخ کاهش پیدا می‌کنند که امری منطقی و مطلوب می‌باشد. به ازای هر ۰,۳ درصد تغییر در نرخ رشد جمعیت تعداد مجروحین با سرعت بیشتری نسبت به سایر خروجی‌ها افزایش می‌یابد. همچنین به ازای هر ۱۰۰۰۰ واحد افزایش در نفر-کیلومتر جابجا شده، هر سه خروجی روندی افزایشی می‌گیرند با این تفاوت که سرعت رشد تعداد تصادفات بیشتر می‌باشد. در نهایت به ازای هر واحد (درصد) رشد در نسبت خودروهایی باری به سواری تعداد فوتی‌ها با شیب بیشتری افزایش می‌یابد که این امر حاکی از آن است که وسایل نقلیه باری تصادفات مرگ‌بار تری را ایجاد می‌نمایند.

مطابق شکل (۶) ارتباط تعداد تصادفات، تعداد فوتی‌ها و تعداد مجروحین با عوامل موثر بر آنها به تصویر کشیده شده است. در این نمودار میزان حساسیت خروجی‌های مدل PSO-SVM نسبت به تغییر در مقادیر هر یک از پارامترها به نمایش درآمده است. تحلیل حساسیت به این موضوع اشاره دارد که با هر واحد تغییر در میزان متغیرها، مقدار خروجی به چه میزان تغییر می‌کند. به این ترتیب تغییر در هر یک از متغیرها روند تغییر در خروجی‌ها را به تصویر کشیده است.

در بخش تحلیل حساسیت این نتیجه حاصل شد که با افزایش هر ۵۰ واحد در تعداد مراکز امداد جاده‌ای، تعداد فوتی‌ها نسبت به تعداد مجروحین با شدت بیشتری کاهش می‌یابد. علت این امر سرعت رسیدگی این ارگان به مجروحین و کاهش مرگ و میر می‌باشد. به ازای هر ۵۰۰ واحد تغییر در تعداد دوربین





شکل 6 تحلیل حساسیت متغیرهای موثر بر خروجی ها

### نتیجه گیری

در این مطالعه به منظور پیش بینی ایمنی ترافیک یک روش جدید که بهینه سازی گروه ذرات و ماشین بردار پشتیبان را باهم ترکیب می کند، ارائه شده است. متغیرهای "تعداد دوربین های کنترل سرعت"، "تعداد مراکز امداد جاده ای"، "جمعیت"، "نفر-کیلومتر جابجا شده" و "نسبت خودروهای مسافری به باری" است که به عنوان ورودی مدل PSO - SVM استفاده می شود. ویژگی های تصمیم گیری شامل تعداد تصادفات، تعداد فوت و تعداد آسیب است که به عنوان خروجی مدل PSO - SVM استفاده می شود. اطلاعات مربوط به ایمنی ترافیکی از سال 1376 تا 1397 به منظور ارزیابی توانایی پیش بینی روش پیشنهادی بکار گرفته شد. به این ترتیب داده های مربوط به سال های 1376 تا 1390 به عنوان

داده های آموزش الگوریتم و داده های مربوط به سال های 1391 تا 1397 به عنوان داده های تست الگوریتم استفاده می شوند. مقادیر میانگین مطلق خطا برای پیش بینی تعداد تصادفات توسط شبکه PSO - SVM و شبکه عصبی پس انتشار به ترتیب 0/0251 و 0/0498 است. همچنین مقادیر میانگین مطلق خطا برای پیش بینی تعداد فوتی ها توسط شبکه PSO - SVM و شبکه عصبی پس انتشار به ترتیب 0/0334 و 0/0561 می باشد. در نهایت مقادیر میانگین مطلق خطا برای پیش بینی تعداد جراحت ها توسط شبکه عصبی PSO - SVM و شبکه عصبی پس انتشار به ترتیب 0/0281 و 0/0452 به دست آمد. نتایج تجربی نشان می دهد که پیش بینی ایمنی ترافیک توسط PSO - SVM برتر از شبکه عصبی پس انتشار است. همان طور که بیان شد، روند تغییرات تلفات تقریباً

بیشتر به خود جلب کرده تا در نهایت تعداد تصادفات و تلفات کاسته شود. این در حالی است که در نمودار تعداد مجروحین این سخت‌گیری توسط مدل PSO-SVM کمتر بوده است. در انتها پیشنهاد می‌شود که در مطالعات آتی از داده‌های بیشتر استفاده شود تا دقت مدل‌ها بیشتر شود. همچنین به منظور مقایسه بهتر می‌توان روش یادگیری عمیق را پیاده‌سازی و با روش PSO-SVM مقایسه نمود. در ضمن چنانچه نوع تسهیلات (درجه‌بندی راه) وارد مدل شود، قطعاً می‌تواند تفکیک بهتری ایجاد نموده و کارایی سیستم را افزایش دهد. عوامل انسانی از دیگر متغیرهای تاثیرگذار هستند که می‌توانند در مطالعات آتی در مدل‌ها مدنظر قرار گیرند. در نهایت این نتایج حاصل شد که با افزایش هر ۵۰ واحد در تعداد مراکز امداد جاده‌ای، تعداد فوتی‌ها نسبت به تعداد مجروحین با شدت بیشتری کاهش می‌یابد. علت این امر سرعت رسیدگی این ارگان به مجروحین و کاهش مرگ و میر می‌باشد. به ازای هر ۵۰۰ واحد تغییر در تعداد دوربین‌ها، هر سه دسته خروجی نرخ کاهشی پیدا می‌کنند که امری منطقی و مطلوب می‌باشد. به ازای هر ۰,۰۳ درصد تغییر در نرخ رشد جمعیت تعداد مجروحین با سرعت بیشتری نسبت به سایر خروجی‌ها افزایش می‌یابد. همچنین به ازای هر ۱۰۰۰۰ واحد افزایش در نفر-کیلومتر جابجا شده، هر سه خروجی روندی افزایشی می‌گیرند با این تفاوت که سرعت رشد تعداد تصادفات بیشتر می‌باشد. در نهایت به ازای هر واحد (درصد) رشد در نسبت خودروهای باری به سواری تعداد فوتی‌ها با شیب بیشتری افزایش می‌یابد که این امر حاکی از آن است که وسایل نقلیه باری تصادفات مرگ‌بار تری را ایجاد می‌نمایند.

مشابه تعداد تصادفات می‌باشد اما تعداد مجروحین تا سال ۹۵ تقریباً ثابت بوده و پس از آن روندی صعودی به خود می‌گیرد. نکته دیگری که می‌توان به آن اشاره کرد آن است که مدل‌ها نوسانات بیشتری نسبت به داده‌های مشاهده را نشان می‌دهند. می‌توان به تنظیم مدل‌های مذکور و کاهش نوسانات مدل‌های با دقت بالاتری ایجاد نمود. با توجه به آن که مقدار خطا در داده‌های مربوط به تعداد مجروحین کمتر از داده‌های تعداد تصادفات و تعداد تلفات می‌باشد، می‌توان این مقوله را ناشی از تعداد داده‌های بیشتر دانست. مدل‌ها هرچقدر دارای داده‌های بیشتر باشند می‌توانند تطبیق بهتری با مقادیر شمارش شده داشته باشند. با مشاهده شکل‌های (۱) تا (۳) این نکته حاصل می‌شود که تعداد تصادفات از سال ۹۱ تا ۹۷ برآیندی صعودی دارد. اما در مورد تعداد تلفات مشاهده شده چنین نبوده و تعداد تلفات گزارش شده در سال ۹۷ کمتر از سال ۹۱ می‌باشد و تعداد مجروحین نیز روندی صعودی را ثبت کرده است. این امر بیانگر آن است که با وجود افزایش تعداد تصادفات از شدت آن‌ها کاسته شده است که می‌توان علل آن را در عواملی همچون کیفیت هندسی جاده، کیفیت خودروها و خطاهای منجر به فوت انسانی جستجو نمود. مفهوم این بخش آن است که خطاها و تصادفات منجر به فوت کم شده‌اند اما تصادفات جزئی افزایش داشته‌اند. نکته دیگر آن است که در سال ۹۵ کمترین تعداد تصادفات و تلفات گزارش شده اما تعداد مجروحین در کمترین مقدار خود نیست. مدل PSO-SVM در مورد تعداد تصادفات و تعداد تلفات مقادیر بالاتری را نسبت به داده‌های مشاهده شده نشان داده که این نتیجه را بیان می‌کند که مدل PSO-SVM روندی بدبینانه را در پیش می‌گیرد که طبیعتاً می‌تواند توجه مسئولین و طراحان را

## مراجع

1. Ameri, A., Bigdeli Rad, H., Shaker, H., & Ameri, M., "Cellular Transmission and Optimization Model Development to Determine the Distances between Variable Message Signs", *Journal of Transportation Infrastructure Engineering*, 7(1), (2021).
2. Rad, V. B., Najafpour, H., Ngah, I., Shieh, E., Rashvand, P., & Rad, H. B., "What Are The Safety Factors Associating with Physical Activity in Urban Neighborhoods?(A Systematic Review)", *Journal of Applied Environmental and Biological Sciences*, Vol. 5(3), pp. 259-266, (2015).
3. Abdi, A., Mosadeq, Z., & Bigdeli Rad, H., "Prioritizing Factors Affecting Road Safety Using Fuzzy Hierarchical Analysis", *Journal of Transportation Research*, Vol. 17(3), pp. 33-44, (2020).

4. Xiao, J., "SVM and KNN ensemble learning for traffic incident detection. *Physica A: Statistical Mechanics and its Applications*", Vol. 517, pp. 29-35, (2019).
6. Huang, J., Zhou, J., Wang, Z., wang, Q., & Peng, Y., "Network Anomaly Traffic Classification and Optimization Based on PSO-SVM", *In Proceedings of the 2nd International Conference on Artificial Intelligence and Advanced Manufacture*, Vol. 9, pp. 173-180, October, (2020).
7. Duan, M., "Short-time prediction of traffic flow based on PSO optimized SVM", *In 2018 international conference on intelligent transportation, big data & smart city (ICITBS)*, Vol. 34, pp. 41-45, IEEE, January, (2018).
8. Radja, D. I. A. F., TOLBA, C., & Moh, A. N. S., "Traffic Urban Control Using an Intelligent PSO Algorithm Based on Integrated Approach", (2020).
9. Ali, E. M., Ahmed, M. M., & Wulff, S. S., "Detection of critical safety events on freeways in clear and rainy weather using SHRP2 naturalistic driving data: Parametric and non-parametric techniques", *Safety Science*, Vol. 119, pp. 141-149, (2019).
10. Rovšek, V., Batista, M., & Bogunović, B., "Identifying the key risk factors of traffic accident injury severity on Slovenian roads using a non-parametric classification tree", *Transport*, Vol. 32(3), pp. 272-281, (2017).
11. Duo, M., Qi, Y., Lina, G., & Xu, E., "A short-term traffic flow prediction model based on EMD and GPSO-SVM", *In 2017 IEEE 2nd Advanced Information Technology, Electronic and Automation Control Conference (IAEAC)*, Vol. 15, pp. 2554-2558, IEEE, March, (2017).
12. Shaker, H., & Bigdeli Rad, H., "Evaluation and Simulation of New Roundabouts Traffic Parameters by Aimsun Software", *Journal of Civil Engineering and Materials Application*, Vol. 2(3), pp. 146-158, (2018).
13. Sarkar, S., Vinay, S., Raj, R., Maiti, J., & Mitra, P., "Application of optimized machine learning techniques for prediction of occupational accidents", *Computers & Operations Research*, Vol. 106, pp. 210-224, (2019).
14. Bener, A., Al Maadid, M. G. A., zkan, T., Al-Bast, D. A. E., Diyab, K. N., & ajunen, T., "The impact of four-wheel drive on risky driver behaviours and road traffic accidents", *Transportation Research Part F: Traffic Psychology and Behaviour*, Vol. 11(5), pp. 324-333, (2008).
15. Bonnet, E., Lechat, L., & Ridde, V., "What interventions are required to reduce road traffic injuries in Africa? A scoping review of the literature", *PLoS One*, Vol. 13(11), e0208195, (2018).
16. Aldegheishem, A., Yasmeeen, H., Maryam, H., Shah, M. A., Mehmood, A., Alrajeh, N., & Song, H., "Smart road traffic accidents reduction strategy based on intelligent transportation systems (tars)", *Sensors*, Vol. 18(7), pp. 1983, (2018).
17. Marusin, A., Marusin, A., & Ablyazov, T., "Transport infrastructure safety improvement based on digital technology implementation", *In International Conference on Digital Technologies in Logistics and Infrastructure (ICDTLI 2019)*, pp. 348-352, Atlantis Press, September, (2019).
18. Najaf, P., Isaai, M. T., Lavasani, M., & Thill, J. C., "Evaluating traffic safety policies for developing countries based on equity considerations", *Journal of Transportation Safety & Security*, 9(sup1), pp. 178-203, (2017).
19. Lee, J.-Y., Chung, J.-H., & Son, B., "Analysis of traffic accident size for Korean highway using structural equation models", *Accident Analysis and Prevention*, Vol. 40(6), pp. 1955-1963, (2008).

20. Kweon, K. S., Moon, J. M., Kyung-Kyu, K. I. M., Chang, Y. B., & Jung, J. S., U.S. Patent No. 10,163,342. Washington, DC: U.S. Patent and Trademark Office, (2018).
21. Yilma, H., Rimal, R., & Ryskulova, N., "Road Traffic Behaviors by Gender in Serbia", *Health Science Research commons*, Vol. 2, pp.214-223, (2017).
22. Zheng, X. I. A. O., Ye, T. I. A. N., Dongsheng, C. A. O., & ZHANG, Z., "Road Traffic Risk Safety Prediction Based on BP Neural Network", *In 2020 IEEE 9th Joint International Information Technology and Artificial Intelligence Conference (ITAIC)*, Vol. 9, pp. 527-533, IEEE, December, (2020).
23. Wu, D., & Wang, S., "Comparison of road traffic accident prediction effects based on SVR and BP neural network", *In 2020 IEEE International Conference on Information Technology, Big Data and Artificial Intelligence (ICIBA)*, Vol. 1, pp. 1150-1154, IEEE, November, (2020).
24. Goniewicz, K., Goniewicz, M., Pawłowski, W., & Fiedor, P., "Road accident rates: strategies and programmes for improving road traffic safety", *European journal of trauma and emergency surgery*, Vol. 42(4), pp. 433-438, (2016).
25. Mallia, L., Lazuras, L., Violani, C., & Lucidi, F., "Crash risk and aberrant driving behaviors among bus drivers: the role of personality and attitudes towards traffic safety", *Accident Analysis & Prevention*, Vol. 79, pp. 145-151, (2015).
26. Pedrycz, W., Park, B. J., & Pizzi, N. J., "Identifying core sets of discriminatory features using particle swarm optimization", *Expert Systems with Applications*, Vol. 36(3), pp. 4610-4616, (2009).
27. Jun, C., Congying, L., & Guangming, D., "Traffic safety assessment of freeway based on BP neural network", *Journal of Tongji University Natural Science*, 7, Vol. 36, pp. 83-92, (2008).
28. Gang, R., & Zhuping, Z., "Traffic safety forecasting method by particle swarm optimization and support vector machine", *Expert Systems with Applications*, Vol. 38(8), pp. 10420-10424, (2011).
29. Cui, J., Zhang, H., Zhao, J., & Zhang, Y., "Research on SVM-Based Highway Traffic Safety Evaluation Model", *In International Conference on Green Intelligent Transportation System and Safety*, pp. 799-809, Springer, Singapore, July, (2017).
30. Doğan, A. A. E., & ANgüngör, A. P., "Estimating road accidents of Turkey based on regression analysis and artificial neural network approach", *Advances in transportation studies*, Vol. 16, 11Y22, (2008).
31. Afandi, Z. S., Bigdeli, R. H., & Shaker, H. (2019). Using optimization and metaheuristic method to reduce the bus headway (Case study: Qazvin Bus Routes).
32. Yasin Çodur, M., & Tortum, A., "An artificial neural network model for highway accident prediction: A case study of Erzurum", *Turkey. PROMET-Traffic&Transportation*, Vol. 27(3), pp. 217-225, (2015).
33. Graham, D. J., Naik, C., McCoy, E. J., & Li, H., "Do speed cameras reduce road traffic collisions?", *PLoS one*, Vol. 14(9), e0221267, (2019).
34. Chokotho, L., Mulwafu, W., Singini, I., Njalale, Y., Maliwichi-Senganimalunje, L., & Jacobsen, K. H., "First responders and prehospital care for road traffic injuries in Malawi", *Prehospital and disaster medicine*, Vol. 32(1), pp. 14, (2017).
35. Anstey, K. J., Eramudugolla, R., Ross, L. A., Lautenschlager, N. T., & Wood, J., "Road safety in an aging population: risk factors, assessment, interventions, and future directions", *International Psychogeriatrics*, Vol. 28(3), pp. 349-

- 356, (2016).
36. Linder, A., & Svensson, M. Y., "Road safety: the average male as a norm in vehicle occupant crash safety assessment", *Interdisciplinary Science Reviews*, Vol. 44(2), pp. 140-153, (2019).
37. Castillo-Manzano, J. I., Castro-Nuño, M., & Fageda, X., "Can cars and trucks coexist peacefully on highways? Analyzing the effectiveness of road safety policies in Europe", *Accident Analysis & Prevention*, Vol. 77, pp. 120-126, (2015).
38. Jain, P., Rahman, I., & Kulkarni, B. D., "Development of a soft sensor for a batch distillation column using support vector regression techniques", *Chemical*, (2007).
39. Tasgetiren, M. F., Liang, Y.-C., Sevkli, M., & Gencyilmaz, G., "A particle swarm optimization algorithm for makespan and total flowtime minimization in the permutation flowshop sequencing problem", *European Journal of Operational Research*, Vol. 177(3), pp. 1930-1947, (2007).
40. Nobile, M. S., Besozzi, D., Cazzaniga, P., Mauri, G., & Pescini, D., "A GPU-based multi-swarm PSO method for parameter estimation in stochastic biological systems exploiting discrete-time target series", *In European Conference on Evolutionary Computation, Machine Learning and Data Mining in Bioinformatics*, pp. 74-85, Springer, Berlin, Heidelberg, April, (2012).
41. Deng, W., Yao, R., Zhao, H., Yang, X., & Li, G., "A novel intelligent diagnosis method using optimal LS-SVM with improved PSO algorithm", *Soft Computing*, Vol. 23(7), pp. 2445-2462, (2019).
42. Hu, W., Yan, L., Liu, K., & Wang, H., "A short-term traffic flow forecasting method based on the hybrid PSO-SVR", *Neural Processing Letters*, Vol. 43(1), pp. 155-172, (2016).

